

МОДЕЛИРОВАНИЕ МЕТОДОМ МОНТЕ-КАРЛО ДИФФУЗИИ ТРИПЛЕТНЫХ ЭКСИТОНОВ И ИХ ЗАХВАТА ЛОВУШКАМИ В МОЛЕКУЛЯРНЫХ КРИСТАЛЛАХ

А.Г. Витухновский, Б.Л. Питель

УДК 535.373.2

Миграция и захват экситонов при обменно-резонансном взаимодействии рассматриваются в модели случайных блужданий с учетом анизотропии кристаллической решетки. Численные эксперименты на ЭВМ сопоставляются с теорией Паузеля — Суса для кристаллов антрацена и стильбена.

В настоящее время возрос интерес к исследованию экситонных процессов в упорядоченных и неупорядоченных системах с сильной анизотропией. Рассматриваются диффузия экситонов Френкеля и их захват ловушками в системах размерности 1D /1/, 2D /2/ и даже фрактальной (дробной) размерности /3/.

В приближении сильной экситон-фононной связи, когда ширина экситонной зоны сужается до величины порядка \hbar/τ_3 (τ_3 — время свободного пробега экситона), движение экситонов носит характер случайных блужданий по узлам кристаллической решетки. Для такого рода стохастических процессов разработан метод Монте-Карло, широко используемый для моделирования диффузионных процессов в газах, жидкостях и кристаллах.

Современные методы очистки позволяют понизить уровень примесей в молекулярных кристаллах лишь до 10^{-7} моль-моль⁻¹. Многие виды кристаллических дефектов могут действовать как ловушки экситонов, плотность которых достигает $10^{15} - 10^{17}$ см⁻³ /4/. Предельные значения для концентрации триплетных экситонов в молекулярных кристаллах достигаются при использовании в качестве источника возбуждения высоконергетических частиц и составляют 10^{19} см⁻³ /5/. Таким образом, изучение миграции экситонов даже в "чистых" молекулярных кристаллах невозможно без учета захвата их ловушками.

В данной работе рассматривается миграция триплетных экситонов и их захват в модели случайных блужданий с учетом анизотропии кристалличес-

кой решетки. Результаты численных экспериментов сопоставлены с теорией Паузла – Суса для молекулярных кристаллов антрацена и стильбена.

Следуя теории Паузла – Суса, рассмотрим трехмерную целочисленную решетку, состоящую из $N + 1$ узлов ($N \gg 1$); в начале координат находится неподвижная ловушка [6]. Введем следующие функции: $P(\vec{s})$ – вероятность того, что частица, находящаяся в узле \vec{r} , в следующий момент окажется в узле $\vec{r} + \vec{s}$; $\lambda(\theta) = \sum_s P(s)e^{i\theta \cdot \vec{s}}$ – структурная функция решетки; $P_n(\vec{s})$ – вероятность того, что частица, начав путешествовать из начала координат, за n шагов окажется в узле \vec{s} ; $P(\vec{s}, z) = \sum_{n=0}^{\infty} P_n(\vec{s}) z^n$ – ее производящая функция; $F_n(\vec{s})$ – вероятность того, что частица, начавшая двигаться из начала координат, посетит на n -ом шаге узел \vec{s} впервые; $F(\vec{s}, z) = \sum_{n=0}^{\infty} F_n(\vec{s}) z^n$ – ее производящая функция; $G_n = \Delta_n/N$, где $\Delta_n = \sum_{n \neq 0} F_n(\vec{s})$ – вероятность того, что частица, помещенная в любой из N свободных узлов (начало координат занято ловушкой), окажется захваченной на n -ом шаге; $\Delta(z) = \sum_{n=1}^{\infty} \Delta_n z^n$ – производящая функция для Δ_n .

Между введенными функциями имеется ряд соотношений, из которых для нас важны следующие:

$$\Delta(z) = -1 + \frac{1}{(1 - az)P(0, z)}; \quad a = \exp(-T/\tau), \quad (1)$$

где T – время, затрачиваемое на скачок из одного узла в другой; τ – время жизни частицы, и

$$P(0, z) = \frac{1}{(2\pi)^3} \iiint_{-\pi}^{+\pi} \frac{d\theta}{1 - z\lambda(\theta)}. \quad (2)$$

Разлагая $\Delta(z)$ по степеням z в окрестности $z = 0$, получаем Δ_n и интересующие нас вероятности. Для Δ_n получена приближенная формула

$$\Delta_n = E \left[1 + \frac{2E}{(2\pi)^{3/2} \sigma_1 \sigma_2 \sigma_3} - \frac{1}{\sqrt{n}} + \dots \right], \quad (3)$$

где $E = (P(0,1))^{-1}$ – так называемая мощность ловушки; величины $\sigma_i^2 = \sum s_i^2 P(\vec{s})$ связаны с коэффициентами диффузии соотношением $D_i = \sigma_i^2 a_i^2 / 2$ (a_i – расстояние до ближайшей молекулы).

Для простых решеток Δ_n можно вычислить точно. Вычисления проведены для простой кубической решетки ($\lambda(\theta) = (\cos\theta_1 + \cos\theta_2 + \cos\theta_3)/3$). Разложим $P(0,z)$ в ряд по степеням z :

$$\begin{aligned} P(0,z) &= \frac{1}{(2\pi)^3} \int_{-\pi}^{+\pi} \frac{d^3\theta}{1 - z\lambda(\theta)} = \frac{1}{(2\pi)^3} \sum_{n=0}^{\infty} \left[\int_{-\pi}^{+\pi} \lambda^n(\theta) d^3\theta \right] z^n = \\ &= \sum_{n=0}^{\infty} \sum_{k_1+k_2+k_3=n} \frac{1}{6^n} \frac{z^n}{(k_1/2)!^2 (k_2/2)!^2 (k_3/2)!^2}, \end{aligned} \quad (4)$$

где суммирование ведется по k_1, k_2, k_3 (коэффициенты при нечетных степенях z равны нулю). Умножая ряд на $1 - z$ и обращая полученный ряд с помощью ЭВМ, находим Δ_n .

Получая далее численные значения G_n , можно определить зависимость концентрации частиц от времени, т. е. получить кинетическую кривую тушения.

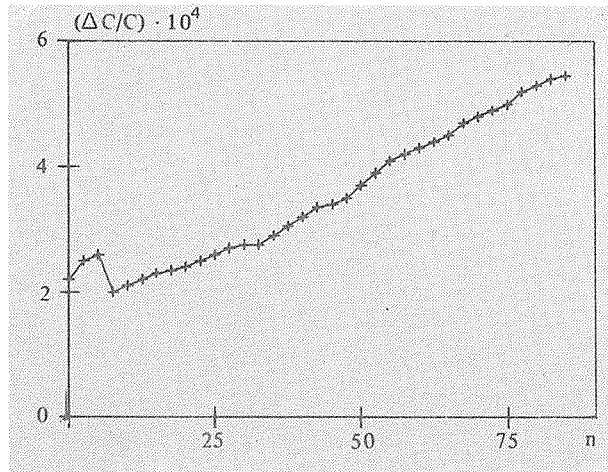


Рис. 1. Относительная разность между кинетическими кривыми, рассчитанными по точной и аппроксимационной формулам (n – число прыжков).

На рис. 1 приведена относительная разность между точной кривой, рассчитанной по формуле (4), и кинетической кривой, полученной при помощи аппроксимационной формулы (3). Из рисунка видно, что (3) является удовлетворительным приближением.

Для проверки результатов /6/ (в основном формулы (3)) проведены машинные эксперименты. Задавалась кубическая решетка из 10^6 узлов; при помощи генератора случайных чисел с равномерным распределением рассаживались 10^4 ловушек и 10^4 частиц. Частицы в течение временного шага могли перемещаться на любой из 6 соседних узлов. Направление прыжка было равновероятным и также задавалось генератором случайных чисел. Частица, попавшая на ловушку, выбывала из рассмотрения. Строилась зависимость концентрации частиц от времени. На рис. 2 показана относительная разность кинетических кривых, полученных методом Монте-Карло и при помощи теории Паузлла – Суса для простой кубической решетки. Из рисунка следует, что теория /6/ хорошо описывает диффузию триплетных экситонов по решетке с ловушками.

Кристаллические решетки реальных молекулярных кристаллов имеют, как правило, триклиновую или моноклиновую сингонию. Кроме того, в элементарной ячейке таких кристаллов имеется не одна, а несколько молекул. Поэтому непосредственное применение данной модели к реальным кристаллам невозможно. Однако в качестве первого приближения решетку реаль-

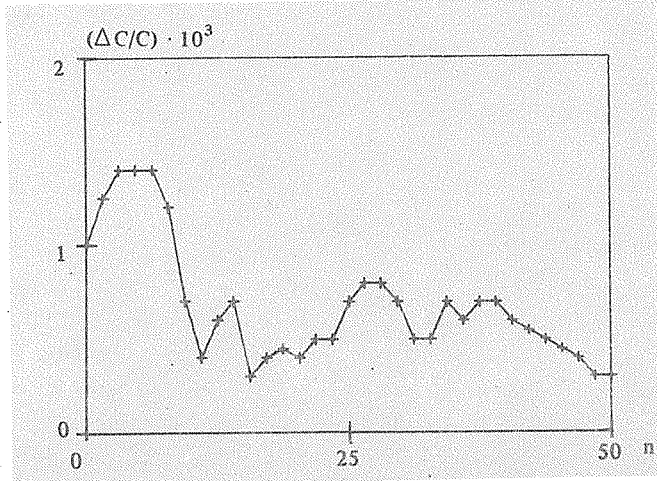


Рис. 2. Относительная разность между кинетическими кривыми, построенными методом Монте-Карло и по теории Паузлла – Суса для кубической решетки.

ногого кристалла можно представить простой кубической, для которой вероятности перескоков вычисляются по формуле

$$D_i = W_i a_i^2 / T, \quad (5)$$

где D_i – коэффициенты диффузии в направлении i ; W_i – вероятности перескока в направлении i . Используя экспериментальные значения коэффициентов диффузии триплетных экситонов для антрацена /7/ и стильбена /8/, можно получить следующие вероятности перескоков, необходимых для моделирования:

Вероятность перескока	Антрацен	Стильбен
W_a	0,289	0,141
W_b	0,697	0,444
W_c	0,014	0,415

Для сопоставления машинного эксперимента с результатами /6/ остается только вычислить $P(0,1)$ для конкретных решеток. На рис. 3 представлены результаты моделирования по методу Монте-Карло и результаты расчета по формуле (3) для антрацена. Для сравнения приведена кинетическая кривая

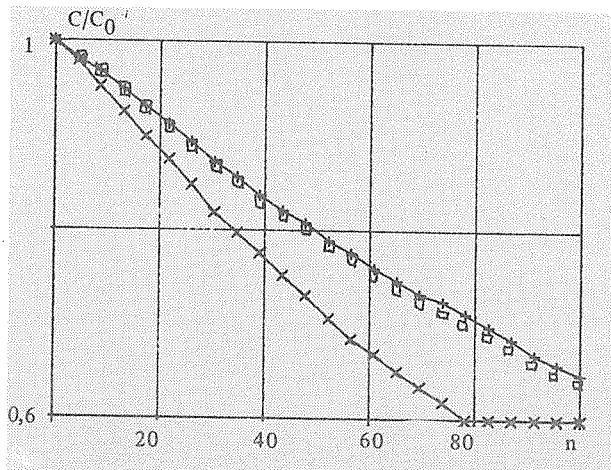


Рис. 3. Кинетические кривые, построенные методом Монте-Карло (х) и по теории Паузлла – Суса (□) для решетки антрацена и для кубической решетки (/).

для простой кубической решетки. Анизотропия решетки приводит к значительному изменению кинетической кривой тушения.

Таким образом, в первом приближении кинетические кривые затухания для реальных молекулярных кристаллов с ловушками, обусловленные диффузией триплетных экситонов, можно оценивать с помощью аппроксимационных формул. Следует отметить необходимость дальнейшего расширения данной модели на случай нескольких молекул в элементарной ячейке.

Авторы благодарны Н.Д. Жевандрову за ценные консультации.

Поступила в редакцию 3 июня 1985 г.

ЛИТЕРАТУРА

1. Movashar B. et al. Solid St. Comm., 39, 1179 (1981).
2. Zumofen G., Blumen A. Chem. Phys. Letters, 88, 63 (1982).
3. Kopelman R. et al. Phys. Rev., B29, 3747 (1984).
4. Sworakowsky J. Mol. Cryst. Liq. Cryst., 11, 1 (1970).
5. Вербицкий С.С. и др. Письма в ЖЭТФ, 33, 144 (1981).
6. Soos Z., Powell R. C. Phys. Rev., B6, 4035 (1972).
7. Ern V. Phys. Rev. Letters, 22, 343 (1969).
8. Вербицкий С.С. и др. Оптика и спектроскопия, 55, 664 (1983).